



# การเปรียบเทียบประสิทธิภาพการยึดติดระหว่างคอมโพสิต แกนฟันชนิดเหลวกับเดือยคอมโพสิตเสริมเส้นใยที่ปรับสภาพ พื้นผิวด้วยสารคู่ควบใช้เลนและเจ็ทพลาสม่า

## Comparison of Bonding Efficiency between Flowable Composite Core and Fiber-Reinforced Composite Post which Surface Treatment with Silane Coupling Agent and Plasma Jet

พิริยะ ยา vierach<sup>1</sup>, พิสาศิริชัย ชัยจารีโนน<sup>1</sup>, สรชนินทร์ ชินสวนานนท์<sup>1</sup>, พิมพ์เดือน รังสิยาภูล<sup>1</sup>, พัชราวรรณ ศิลธรรมพิทักษ์<sup>1</sup>, นิรารณ บุญญารรณ<sup>2</sup>

<sup>1</sup>คณะทันตแพทยศาสตร์, มหาวิทยาลัยเชียงใหม่

<sup>2</sup>คณะวิทยาศาสตร์, มหาวิทยาลัยเชียงใหม่

Piriya Yavirach<sup>1</sup>, Pisaosit Chaijareenont<sup>1</sup>, Sonchanin Chinsawananon<sup>1</sup>, Pimduen Rungsiyakull<sup>1</sup>,  
Patcharawan Silthampitag<sup>1</sup>, Dheerawan Boonyawan<sup>2</sup>

<sup>1</sup>Faculty of Dentistry, Chiang Mai University

<sup>2</sup>Faculty of Science, Chiang Mai University

ปม.ทันตสาร 2556; 34(1) : 91-106

CM Dent J 2013; 34(1) : 91-106

### บทคัดย่อ

วัตถุประสงค์ในการศึกษาครั้งนี้เพื่อประเมินประสิทธิภาพการยึดติดระหว่างเดือยคอมโพสิตเสริมเส้นใยที่ผ่านการปรับสภาพพื้นผิวด้วยเจ็ทพลาสม่าของอาการกับคอมโพสิตแกนฟันชนิดเหลว เดือยดีทีไลท์ จำนวน 56 แท่งแบ่งออกเป็น 4 กลุ่มตามสภาพการปรับสภาพพื้นผิวคือ 1. กลุ่มที่ไม่ปรับสภาพพื้นผิว (กลุ่มควบคุม) 2. กลุ่มที่ปรับสภาพด้วยสารคู่ควบใช้เลน 3. กลุ่มที่ปรับสภาพพื้นผิวด้วยเจ็ทพลาสม่าของ

### Abstract

The purpose of this study was to investigate the bond strength of fiber-reinforced composite post to flowable composite core build-up material after air plasma jet surface treatment. Fifty six DT Light-Post® were divided into 4 groups according to surface treatment: i. untreated surface group (control), ii. silane coupling agent treated surface group, iii. air

Corresponding Author:

พิริยะ ยา vierach

ผู้ช่วยศาสตราจารย์ ดร. ภาควิชาทันตกรรมประดิษฐ์  
คณะทันตแพทยศาสตร์ มหาวิทยาลัยเชียงใหม่ จังหวัดเชียงใหม่

Piriya Yavirach

Assist. Prof. Dr., Department of Prosthodontics,  
Faculty of Dentistry, Chiang Mai University,  
Chiang Mai 50200, Thailand.

E-mail: [piriya@chiangmai.ac.th](mailto:piriya@chiangmai.ac.th), [piriya.ya@cmu.ac.th](mailto:piriya.ya@cmu.ac.th)



อาการผอมก้าวเข้าเลี้ยม และ 4. กลุ่มที่ปรับสภาพพื้นผิวด้วยเจ็ทพลาสม่าของอาการผอมก้าวเข้าร่อง โดยส่วนบนของเดือยเสริมเส้นไยหุ้มโดยรอบด้วยคอมโพสิตแกนฟันชนิดเหลวแล้วเก็บไว้ในน้ำที่อุณหภูมิ 37 องศาเซลเซียสเป็นเวลา 24 ชั่วโมง ขั้นทดสอบแต่ละชิ้นในทุกกลุ่มถูกทดสอบกำลังดึงเฉือนด้วยวิธีการดึงโดยใช้เครื่องทดสอบสากล (กลุ่มละ 8 ชิ้น) เดือยที่เหลือในทุกกลุ่มที่ไม่ถูกหุ้มด้วยคอมโพสิตแกนฟันชนิดเหลวถูกนำมาทดสอบความชุกระของผ้าเดือย (กลุ่มละ 2 ชิ้น) ด้วยเครื่องพรอฟโลมิเตอร์ และตรวจสอบลักษณะพื้นผิวของเดือยก่อนและหลังทดสอบกำลังดึงเฉือนด้วยกล้องจุลทรรศน์อิเล็กตรอนชนิดส่องกระดาษ (กลุ่มละ 2 ชิ้น) โดยกลุ่มฟังก์ชันอลที่เกิดขึ้นถูกวิเคราะห์โดยใช้ฟอร์เรย์ทรานส์ฟอร์มอินฟราเรดสเปกโตรสโคป (กลุ่มละ 2 ชิ้น) การวิเคราะห์ความแปรปรวนแบบจำแนกทางเดียวและการทดสอบเชิงซ้อนด้วยวิธีแกรมแชนบบ์ว่าไม่มีความแตกต่างอย่างมีนัยสำคัญของกำลังดึงเฉือนในแต่ละกลุ่มที่ความเชื่อมั่นร้อยละ 95 จากการทดสอบด้วยวิธีทึบไม่พบความแตกต่างของความชุกระบันผ้าเดือยในทุกกลุ่มที่ความเชื่อมั่นร้อยละ 95

**คำสำคัญ:** เดือยคอมโพสิตเสริมเส้นไย กำลังดึงเฉือน การปรับสภาพพื้นผิวด้วยเจ็ทพลาスマ

mixed with helium plasma jet treated surface group, and iv. air mixed with argon plasma jet treated surface group. The coronal parts of the fiber posts were encapsulated with flowable composite core build-up material. The specimens were immersed in distilled water at 37°C for 24 hours. All specimens were pull-out tests by using a universal testing machine to evaluate the tensile-shear bond strength of the specimens in each group ( $n = 8$ ). Profilometer and scanning electron microscope were used to examine the surface roughness and surface morphology in the non-encapsulated flowable composite posts ( $n=2$ ). Fourier transform infrared spectroscopy was used to measure the functional group in the posts after surface treatments ( $n=2$ ). One-way ANOVA and Tamhane's multiple comparisons test revealed that there were no significant differences in tensile-shear bond strengths among each group ( $p=0.05$ ). No significant differences were found in the surface roughness of all post specimens with Tukey's test ( $p = 0.05$ ).

**Keywords:** Fiber-reinforce composite post, tensile-shear bond strength, plasma jet treatment

## บทนำ

ปัจจุบันนิยมใช้เดือยคอมโพสิตเสริมเส้นไย (fiber-reinforced composite post) บูรณะฟันที่ผ่านการรักษาคลองรากฟัน เนื่องจากเดือยคอมโพสิตเสริมเส้นไยมีข้อดีหลายๆ ประการ เช่น มีโมดูลัสยึดหยุ่น (modulus of elasticity) ใกล้เคียงกับเนื้อฟันช่วยลดปัญหาการแตกของรากฟัน<sup>(1)</sup> ให้ความสวยงามเมื่อใช้กับครอบฟัน Hera-mik ล้วน<sup>(2)</sup> ฯลฯ แต่ยังพบว่าเกิดการหลุดของเดือยคอมโพสิตเสริมเส้นไยจากคลองรากฟัน ซึ่งเกิดจากความล้มเหลวของรายีดติดระหว่างเรซินซีเมนต์กับเดือยคอมโพสิตเสริมเส้นไย<sup>(3,4)</sup> หรือคอมโพสิตแกนฟัน (composite core

build-up material) และครอบฟันหลุดจากเดือยคอมโพสิตเสริมเส้นไย<sup>(5)</sup> สาเหตุส่วนหนึ่งเกิดจากไม่มีปฏิกิริยาทางเคมีระหว่างเรซินเมทริกซ์ของเดือยคอมโพสิตเสริมเส้นไยกับเรซินคอมโพสิตที่ไม่สามารถเป็นส่วนประกอบพื้นฐาน (methacrylate-base resin composite)<sup>(6)</sup> จึงมีความพยายามปรับสภาพพื้นผิวเดือยคอมโพสิตเสริมเส้นไยเพื่อเพิ่มประสิทธิภาพของการยึดติดหล่ายิธีได้แก่ วิธีเชิงกล เช่นการเพิ่มความชุกระของพื้นผิวด้วยการพ่นผงอลูมีนิ่ม (sandblasting)<sup>(7)</sup> วิธีการใช้สารเคมี เช่นการทำผิวเดือยด้วยสารคุ้มค่าไซเลน (silane coupling agent)<sup>(8)</sup> หรือใช้สารละลายไฮโดรเจนเปอร์ออกไซด์กัดกร่อนผิว



เดียย<sup>(9)</sup> วิธีเชิงกลร่วมกับการใช้สารเคมี เช่น การพ่นผงอุดมินาที่ผิวเดียดอยแล้วทาด้วยสารคู่ควบไชเลน<sup>(10)</sup> และวิธีฉีดพื้นผิวเดียดด้วยพลาasma (plasma treatment)<sup>(11)</sup> ให้ผลการยึดติดดีขึ้น ในคลินิกสารเคมีที่นิยมใช้เพื่อปรับสภาพพื้นผิวของเดียดคอมโพสิตเสริมเส้นใยคือการใช้สารคู่ควบไชเลน ที่ที่ผิวเดียดก่อนการยึดติด<sup>(12)</sup> สารคู่ควบไชเลนเป็นสารผสมระหว่างสารประกอบอินทรีย์ (organic compound) และ อินทรีย์ (inorganic compound) ที่ทำหน้าที่เป็นตัวกลางช่วยในการยึดติดระหว่างวัสดุต่างชนิดกันซึ่งได้แก่สารอินทรีย์และอินทรีย์โดยผ่านปฏิกิริยาคู่ควบ (dual reaction)<sup>(13)</sup> โดยหมุนฟังก์ชันนอล (functional group) อินทรีย์ของสารคู่ควบไชเลน เช่น ไวนิล (vinyl) อัลลิล (allyl) อะมิโน (amino) สามารถทำปฏิกิริยากับเมทริกซ์อินทรีย์ (organic matrix) ในขณะที่กลุ่มอัลกอคิว (alkoxy group) ของสารคู่ควบไชเลน เช่น เมทอกซี (methoxy) สามารถทำปฏิกิริยากับสารอินทรีย์ ก่อให้เกิดแรงยึดระหว่างวัสดุต่างชนิดกันด้วยพันธะโคแอล์ฟอนท์ (covalent bond)<sup>(14)</sup> ส่วนการใช้พลาasma เพื่อปรับสภาพพื้นผิวมากใช้ในวงการอุตสาหกรรมได้มีการใช้พลาasmaเพื่อปรับสภาพพื้นผิวของพอลิเมอร์ (polymer) อย่างแพร่หลาย<sup>(15)</sup> เพื่อทำให้คุณสมบัติการยึดติดดีขึ้น โดยพลาasmaเป็นตัวกลางที่สามารถนำไปฟื้นได้ เป็นก้าชที่มีประจุ โดยทั่วไปแล้วพลาasmaประกอบด้วยประจุบวกและประจุลบที่มีความหนาแน่นเท่ากัน หรือกล่าวได้ว่าเป็นกลุ่มของ อิเลคตรอน (electron) ไอโอน (ion) โมเลกุล (molecule) อนุนุลลิสต์ (free radical) และอะตอม (atom) ในสถานะกระตุ้น<sup>(16)</sup> ซึ่งเรียกว่า สเปซีสที่มีพลังงาน (energetic species) การทำให้ก้าชเกิดการไอโอนไนซ์ (ionize) เป็นพลาasmaมักทำภายใต้สูญญากาศด้วยการใช้เครื่องกำเนิดไฟฟ้าความถี่สูง<sup>(17)</sup> เมื่อก้าชถูกกระตุ้นด้วยอุณหภูมิสูงขึ้นอย่างเพียงพอ อะตอมและโมเลกุลของก้าชเกิดการไอโอนไนซ์และอิเลคตรอนมีการหลุดออกมานៅองจากการชนกันอย่างรุนแรงของอะตอมและโมเลกุลที่ถูกกระตุ้นเหล่านั้น เมื่อสเปซีสที่มีพลังงานเหล่านี้กระแทกพื้นของพอลิเมอร์ก่อให้เกิดการถ่ายทอดพลังงานจากพลาasmaไปสู่พื้นผิวพอลิเมอร์ พลังงานเหล่านี้ทำให้เกิดการเปลี่ยนแปลงทางเคมีและทางพิสิกส์แก่พื้นผิวพอลิเมอร์ดังนี้คือ 1) จำกัดสารปนเปื้อนที่ตกค้าง

บนพื้นผิวพอลิเมอร์ 2) เหนี่ยวนำให้เกิด หมุนฟังก์ชันนอลที่พื้นผิวพอลิเมอร์ซึ่งพร้อมทำปฏิกิริยากับสารอื่นๆ<sup>(18)</sup> ตัวอย่างเช่น เหนี่ยวนำให้เกิดกลุ่มที่ประกอบด้วยออกซิเจน (oxygen-containing group) (-OH, -OOH) ที่พื้นผิวของพอลิเมอร์ทำให้พื้นผิวของพอลิเมอร์มีความชอบน้ำ (hydrophilicity) มากขึ้น<sup>(19)</sup> และ 3) สามารถเปลี่ยนโครงสร้างพื้นผิว (surface topography) โดยการกัดกร่อน (etching) หรือการเปลี่ยนองค์ประกอบพื้นผิว (decomposition) ด้วยการเคลือบผิว<sup>(20)</sup> การเปลี่ยนแปลงเหล่านี้ทำให้คุณสมบัติการยึดติดของพอลิเมอร์ดีขึ้น และที่สำคัญคือการปรับสภาพพื้นผิวด้วยพลาasma ทำให้เกิดการเปลี่ยนแปลงเฉพาะพื้นผิวนอนสุดเท่านั้น ไม่มีผลต่อกุณสมบัติวัสดุด้านใน<sup>(21)</sup> แต่ข้อด้อยที่สำคัญของการใช้พลาasmaคือ ใช้เวลานานในการปรับสภาพ<sup>(22)</sup> เนื่องจากพลาasmaต้องทำในระบบปิดภายใต้ภาวะสูญญากาศ จึงมีแนวคิดนำพลาasmaปรับสภาพพื้นผิวพอลิเมอร์ที่ความดันบรรยากาศ (atmospheric pressure plasma) ที่ใช้เวลาในการปรับสภาพพื้นผิวเร็วขึ้น ประหยัดค่าใช้จ่าย และเพิ่มคุณสมบัติการยึดติดของพื้นผิวให้ดีขึ้น<sup>(23,24)</sup> มาใช้ในการปรับสภาพเดียดคอมโพสิตเสริม เส้นใยซึ่งพื้นผิวด้านนอกห่อหุ้มด้วยพอลิเมอร์ โดยพลาasma ที่ความดันบรรยากาศชนิดพิเศษที่สามารถควบคุมลำของพลาasmaให้ออกมาจากปลายกระบวนการเครื่องมือขนาดเล็กเรียกว่า เจ็ทพลาasma (plasma jet)<sup>(24)</sup> สามารถปรับสภาพพื้นผิวพอลิเมอร์ในบริเวณที่เฉพาะเจาะจงได้ จึงเหมาะสมกับการนำมายปรับสภาพพื้นผิวพอลิเมอร์ที่ใช้ในทางทันตกรรม ซึ่งเจ็ทพลาasmaเกิดจากก้าชถูกดันให้ผ่านท่ออิเลคโทรด (electrode tube) ที่มีกระแสไฟฟ้าผ่านระหว่างขั้วไฟฟ้า 2 ขั้ว ที่คลื่นความถี่วิทยุค่าหนึ่ง ทำให้โมเลกุลก้าชที่ป้อนเกิดการแตกตัวอยู่ในสถานะที่ถูกกระตุ้น มีพลังงานสูง และถูกบีบอัดมาทางรูเปิดที่ดูบด้วยการเหนี่ยวนำทางไฟฟ้าและการไหลของอากาศ (air flow) ให้มีรูปร่างเป็นลำเจ็ท หรือรูปร่างคล้ายเข็ม ซึ่งไอโอนและอิเลคตรอนที่ถูกปล่อยออกมามีอายุสั้น โดยการสลายตัวผ่านกระบวนการรวมตัวกันใหม่ (recombination)<sup>(25)</sup> จากการศึกษาของ Noeske และคณะ<sup>(24)</sup> พบว่าการใช้เจ็ทพลาasmaช่วยปรับปรุงคุณสมบัติการยึดติดของ พอลิเอทธิลีน เทเรฟทาเลต (polyethylene

terephthalate) พอลิเอ莫ายด์ หก (polyamide 6) พอลิไวนิล ดินิฟลูอโอลีด (polyvinyl difluoride) และพอลิเอทธิลลินความหนาแน่นสูง (high density-polyethylene) ให้ดีขึ้นอย่างมีนัยสำคัญ

ในทางทันตกรรมใช้พลาสมาที่ความดันบรรยากาศปกติร่วมกับพลาสมาที่ความดันบรรยากาศสูง (26) ปรับสภาพพื้นผิวอลูมิเนียม โดย Nishigawa และคณะ<sup>(26)</sup> พบว่าพลาสมาที่ความดันบรรยากาศสามารถเพิ่มกำลังดึงเฉือน (tensile-shear bond strength) ระหว่างเรซินอะคริลิก (acrylic resin) ที่บ่มด้วยความร้อนชนิดเมทิลเมทาคริเลต (heat-cured polymethylmethacrylate acrylic resin) กับเรซินอะคริลิกที่บ่มด้วยตัวเอง (self-curing acrylic resin) โดยพลาสมาเข้าไปทำความสะกดพื้นผิวของเรซินอะคริลิกลดลงจนหนึ่งในห้าเกิดหมู่ไฮดรอกซิล (-OH) บนพื้นผิวของเรซินอะคริลิกจึงเพิ่มคุณสมบัติการเปียกน้ำ (wettability) ของพื้นผิวเรซินอะคริลิก

ผู้วิจัยจึงมีความสนใจใช้เจ็ทพลาสmaxของกาศปรับสภาพพื้นผิวด้วยคอมโพสิตเสริมเส้นใย เพื่อเพิ่มประสิทธิภาพการยึดติดระหว่างเดือยชนิดนี้กับคอมโพสิตแกนฟัน ซึ่งเป็นวิธีที่ไม่ใช้สารเคมีที่ก่อให้เกิดมลภาวะต่อสิ่งแวดล้อม รวมทั้งเป็นวิธีการที่รวดเร็วและประหยัดค่าใช้จ่าย และไม่ต้องนำเข้าสารเคมีจากต่างประเทศ โดยมีสมมุติฐานว่าจากการศึกษานี้คือการปรับสภาพพื้นผิวด้วยคอมโพสิตเสริมเส้นใยด้วยเจ็ทพลาสmaxของกาศไม่เพิ่มประสิทธิภาพการยึดติดของเดือยคอมโพสิตเสริมเส้นใยกับคอมโพสิตแกนฟันชนิดเหลว (flowable composite core build-up material) เมื่อเทียบกับการใช้สารคุณภาพไปเล่น

วัดถุประสังค์

1. ประเมินประสิทธิภาพการยึดติดของเดือยคอมโพสิตเสริมเส้นใยที่ผ่านการปรับสภาพพื้นผิวด้วยเจ็ทพลาสมาก่อนกับคอมโพสิตแกนฟันชนิดเหลวด้วยการทดสอบกำลังดึงใน实验室
  2. ประเมินประสิทธิภาพการยึดติดของเดือยคอมโพสิตเสริมเส้นใยที่ผ่านการปรับสภาพด้วยสารคุณค่าวีซ่าเลนกับคอมโพสิตแกนฟันชนิดเหลวด้วยการทดสอบกำลังดึงใน laboratoru

3. เปรียบเทียบกำลังดึงเฉือน ระหว่างคอมโพสิต  
แกนพันชนิดเหลวกับเดือยคอมโพสิตเสริมเส้นไนท์ผ่าน  
การปรับสภาพพื้นผิวด้วยสารคุ่ครวบไซเลนกับเจ็ท  
พลาสม้าของอากาศ

4. ศึกษาการเปลี่ยนแปลงพื้นผิวเดือยคอมโพสิต  
เสริมเด่นไยทั้งทางเคมีและทางฟิสิกส์ที่ผ่านการปรับ  
สภาพพื้นผิวด้วยสารคุณค่าปูไซเลนและเจ็ทพลาสมารของ  
อากาศ

## วัสดุอุปกรณ์และวิธีการ

นำเดือยดีทีไลต์ (DT Light posts®, RTD, St. Egrevre, France, Batch number 159801103) ซึ่งเป็นเดือยคอมโพสิตเสริมเส้นใยcarbonตัวซันดิปลายส่วน(taper post) ที่มีส่วนประกอบพื้นฐานของเมทริกซ์เป็นเรซิน อิปโภคชี (epoxy resin) ที่มีขนาดเส้นผ่าศูนย์กลาง 1.8 มิลลิเมตร ยาว 20มิลลิเมตรจำนวน 56 แท่งมาแบ่งออกเป็น 4 กลุ่มๆ ละ 14 แท่ง ด้วยวิธีสุ่ม (simple random sampling without replacement) กลุ่มที่ 1 คือ กลุ่มที่เดือยไม่ปรับสภาพพื้นผิวด้วย เก็บคอมโพสิตแกนฟันชนิดเหลวมัลติคอร์ฟลว์ (MultiCore Flow®, Ivoclar Vivadent, Schaan, Liechtenstein) ซึ่งเป็นกลุ่มควบคุม กลุ่มที่ 2 คือกลุ่มเดือยที่ถูกปรับสภาพพื้นผิวด้วยสารคุ้กค่วงไชเลน กลุ่มที่ 3 และ 4 คือกลุ่มเดือยที่ถูกปรับสภาพด้วยเจ็ทพลาสมาระบบกาซชีเลียม และ เจ็ทพลาスマของอากาศผสมกับกาซาร์กอน ตามลำดับ สำหรับเดือยในกลุ่มที่ 2 ก่อนยึดกับคอมโพสิตแกนฟันชนิดเหลวมัลติคอร์ฟลว์นั้น ส่วนบนสุดของเดือยยาวประมาณ 2 มิลลิเมตรถูกทำด้วยสารคุ้กค่วงไชเลนโนบอนด์ เอส (Monobond-S, Ivoclar Vivadent, Schaan, Liechtenstein) โดยรอบแล้วทั้งไว 1 นาทีจากนั้นเป้าให้แห้งด้วยลมร้อนอุณหภูมิ 50 องศาเซลเซียส ส่วนเดือยในกลุ่มที่ 3 ก่อนยึดกับคอมโพสิตแกนฟันชนิดเหลวมัลติคอร์ฟลว์ เดือยส่วนบนถูกปรับสภาพพื้นผิวด้วยเจ็ทพลาスマของอากาศ ต่อ ก้าชชีเลียมคือ 1: 160 และปริมาณก้าชที่ป้อนสู่ระบบเจ็ทพลาสมากือ 8,050 มล. ต่อ 1 นาที และเดือยในกลุ่มที่ 4 ก่อนยึดกับคอมโพสิตแกนฟันชนิดเหลวมัลติคอร์ฟลว์ เดือยส่วนบนถูก



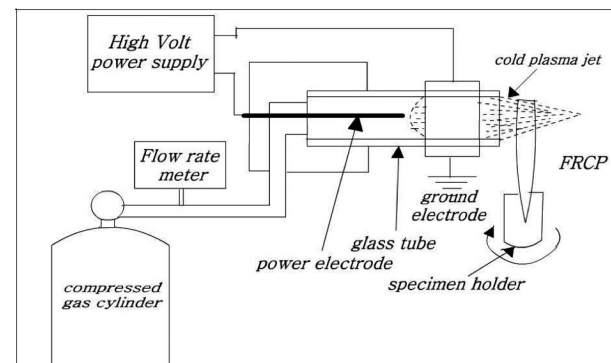
ปรับสภาพพื้นผิวด้วยเจ็ทพลาสม่าของอากาศผสมกับก้าซออกอกอนโดยใช้อัตราส่วนอากาศ ต่อ ก้าซออกอกอน คือ 1: 300 และปริมาณก้าซที่ป้อนสู่ระบบเจ็ทพลาสม่า คือ 9,030 มล. ต่อ 1 นาที เนื่องจากระบบเจ็ทพลาสม่าที่ใช้ในการทดลองนี้เป็นระบบที่ใช้แรงดันไฟฟ้าต่ำ (low voltage) ซึ่งมีพลังงานไม่เพียงพอที่ทำให้อากาศเกิดการไอออกในชั้นเป็นพลาสม่าได้ จึงต้องผสมก้าซเข้าอยกับอากาศเป็นก้าซป้อน (feed gas) และให้อากาศเป็นก้าซทำปฏิกิริยา (reactive gas)<sup>(20,27)</sup> ซึ่งวิธีการปรับสภาพพื้นผิวเดียยในกลุ่มที่ 3 และ 4 คือนำเดียยมาถ่ายแบบแท่นจับเดียยที่มุนด้วยความเร็ว 4 รอบต่อนาที เพื่อให้ส่วนปลายบนสุดของเดียยยาว 2 มิลลิเมตร สัมผัสกับลำพลาสม่าโดยรอบเป็นเวลา 120 วินาที และมีระยะระหว่างปลายกระบวนการเจ็ทกับเดียยคือ 4 มิลลิเมตร (รูปที่ 1) ซึ่งเครื่องเจ็ทพลาสม่าเป็นเครื่องที่ประดิษฐ์โดยศูนย์วิจัยฟิสิกส์ของพลาสม่าและลำอนุภาคนวัตกรรม ภาควิชาฟิสิกส์ และวัสดุศาสตร์ มหาวิทยาลัยเชียงใหม่ โดยส่วนกลางของสถาบันเจ็ทประกอบด้วยแท่งอิเลคโทรดที่ห่อหุ้มด้วยหัวแก้ว (glass tube) ซึ่งตั้งอยู่ในแนวแกนกลางของหัวแก้วที่ถูกต่อสายดินไว้ (grounded) ส่วนแท่งเพาเวอร์อิเลคโทรด ด้านในถูกป้อนด้วยกระแสไฟฟ้าที่แรงดันไฟฟ้า 35 โวลต์ กำลังไฟฟ้า 0.6 แอมป์และความถี่ 330 กิโล赫ertz (รูปที่ 2) จากนั้นนำเดียยจำนวน 8 แท่งในแต่ละกลุ่มมายึดด้วย เรซิน คอมโพสิตแกนพันชนิดเหลวมัลติโคโรฟลว์ ตามวิธีของ Yavirach และคณะ (2009)<sup>(11)</sup> ได้ชิ้นทดสอบดังรูปที่ 3

นำชิ้นทดสอบเดียยที่ยึดด้วยเรซินคอมโพสิตแกนพันชนิดเหลวมัลติโคโรฟลว์ จำนวน 8 ชิ้นในแต่ละกลุ่ม ไปแขวนที่อุณหภูมิ 37 องศาเซลเซียส 24 ชั่วโมง หลังจากนั้นทดสอบด้วยการดึงโดยชิ้นทดสอบถูกจับด้วยตัวยึดที่ทำมาพิเศษซึ่งติดกับแท่นส่วนล่างของเครื่องทดสอบสากล (Instron 5566, Instron Inc., MA, US) ในขณะที่ตัวจับคอมโพสิตแกนพันถูกกลึงมาให้พอดีกับเดียยและรองรับส่วนล่างของเหวณโดยจะได้ต่อคอมโพสิตแกนพันชนิดเหลวมัลติโคโรฟลว์อย่างพอดีซึ่งส่วนนี้ติดกับส่วนเคลื่อนที่ของเครื่องทดสอบสากล (รูปที่ 4) โดยกำหนดน้ำหนักหัวดึง 500 นิวตัน ความเร็วหัวดึง 1 มิลลิเมตร ต่อนาที จากนั้นร่วบรวมค่ากำลังดึงเฉือนที่ได้ในหน่วย เมกะ



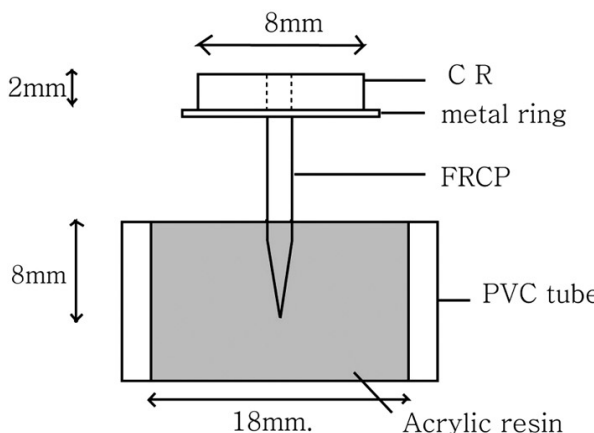
**รูปที่ 1** การปรับสภาพพื้นผิวส่วนปลายด้านบนของเดียยคอมโพสิตเสริมเลนน์โดยด้วยเจ็ทพลาสม่า โดยปลายกระบวนการเจ็ทห่างจากเดียยประมาณ 4 มิลลิเมตร

**Figure 1** The coronal part of the fiber-reinforced composite post was treated with plasma jet. The distance between the post and the jet tube was 4 mm.



**รูปที่ 2** ภาพร่างแสดงระบบเจ็ทพลาสม่าที่ประดิษฐ์ขึ้นเองโดยกระบวนการเจ็ทประกอบด้วยแท่งเพาเวอร์อิเลคโทรดที่อุ้ยเก็บกลางหัวแก้วที่หุ้มด้วยอิเลคโทรดที่ต่อสายดิน

**Figure 2** Schematic illustration of a self-made plasma jet system. The power electrode was located at the center of the glass tube, which was connected to the ground electrode.

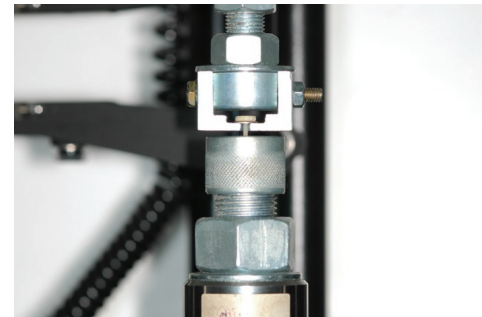


**รูปที่ 3** แบบร่างแสดงชิ้นทดสอบที่เลร์จเรียบร้อย โดยมี เรซินคอมโพลิตแกนพันชนิดเหลวมัลติคอร์ฟลอร์ (CR) ยึดส่วนบนของเดือยและมีแผ่นแหวนโลหะ บางรองด้านในให้ ส่วนปลายด้านลูกของเดือย ฝังอยู่ ในเรซินอะคริลิกที่มีท่อพีวีซี (PVC) ห่อหุ้ม (นำ ภาพมาจาก พิริยะ และคณะ<sup>(21)</sup>)

**Figure 3** Schematic illustration of the complete specimens. The coronal end of the fiber-reinforced composite post was encapsulated by flowable composite core (CR) with the support of a thin metal ring, while the taper apical end of the post was embedded into acrylic resin in the PVC tube. (Piriya et al.<sup>(21)</sup>)

ปลาสคอล (MPa) แล้ววิเคราะห์ทางสถิติด้วย การวิเคราะห์ความแปรปรวนแบบจำแนกทางเดียว (One-way ANOVA) ที่ระดับความเชื่อมั่นร้อยละ 95

ส่วนเดือยที่เหลือที่ยังไม่ได้หุ้มด้วยเรซินคอมโพลิต แกนพันชนิดเหลวมัลติคอร์ฟลอร์ในแต่ละกลุ่มถูกสูญเสีย ทดสอบดังนี้ เดือย 2 แห่งถูกทดสอบความแข็งแรงพื้นผิว ด้วยเครื่องพรอฟิลومิเตอร์ (Profilometer, Tyllyscan 150, Taylor Hobson, Leicester, UK) โดยสแกน 3 ตำแหน่งในแต่ละแห่งในแต่ละกลุ่ม เพื่อหาค่าเฉลี่ยความ แข็งแรงโดยมีพื้นที่ของการสแกนคือ  $2 \times 0.5$  ตารางมิลิเมตร อีก 2 แห่งถูกตรวจสอบการเปลี่ยนแปลงลักษณะพื้นผิว ด้วยกล้องจุลทรรศน์อิเลคตรอนนิคส์ส่องกล้อง (JSM-5410LV, JEOL, Tokyo, Japan) ส่วนเดือยที่เหลืออีก 2



**รูปที่ 4** ภาพถ่ายแสดงการจับชิ้นทดสอบด้วยตัวยึดที่ติดกับ เครื่องทดสอบลักษณะ

**Figure 4** The picture shows the specimen was attached to the Universal testing machine with the specimen holder.

แห่งนำไปทดสอบการเปลี่ยนแปลงทางเคมีของพื้นผิว ด้วยเครื่องฟอร์เรียบรานส์ฟอร์มินฟราเรดสเปกตรัสโคปี (Fourier transform infrared spectroscopy, FTIR), Nicolet 6700, Bruker, Germany) ในรูปแบบ เอทีอาร์ (ATR mode)

ตรวจสอบพื้นผิวของเดือยภายหลังจากการทดสอบ กำลังดึงเฉือน โดยนำเดือย 2 แห่งในแต่ละกลุ่มมาตรวจ การเปลี่ยนแปลงลักษณะพื้นผิวภายหลังจากการทดสอบ กำลังดึงเฉือนด้วยกล้องจุลทรรศน์อิเลคตรอนนิคส์ส่อง กล้อง

## ผลการทดลอง

ค่าเฉลี่ยกำลังดึงเฉือนระหว่างเดือยกับคอมโพลิต แกนพันชนิดเหลวมัลติคอร์ฟลอร์และส่วนเบี่ยงเบน มาตรฐานของแต่ละกลุ่มแสดงในตารางที่ 1 และกราฟ แสดงกำลังดึงเฉือนของเดือยแต่ละกลุ่มแสดงในรูปที่ 5 จากการทดสอบด้วยวิเคราะห์ความแปรปรวนแบบ จำแนกทางเดียว และการทดสอบเชิงข้ออ่อนด้วยวิธี tamhane (Tamhane's multiple comparison test) ที่ค่า ความเชื่อมั่นร้อยละ 95 ( $p < 0.05$ ) พบว่าค่าเฉลี่ยแรงดึง เฉือนของทุกกลุ่มไม่ต่างกันอย่างมีนัยสำคัญ

ค่าเฉลี่ยความแข็งแรงพื้นผิวของเดือยกับคุณ กลุ่มที่ทาด้วยสารคุ้กคุมไชเลน กลุ่มที่ปรับสภาพพื้นผิว ด้วยเจ็ทพลาสม่าของอากาศผสมก๊าซไฮเดรน และ กลุ่มที่ ปรับสภาพพื้นผิวด้วยเจ็ทพลาสม่าของอากาศผสมก๊าซ

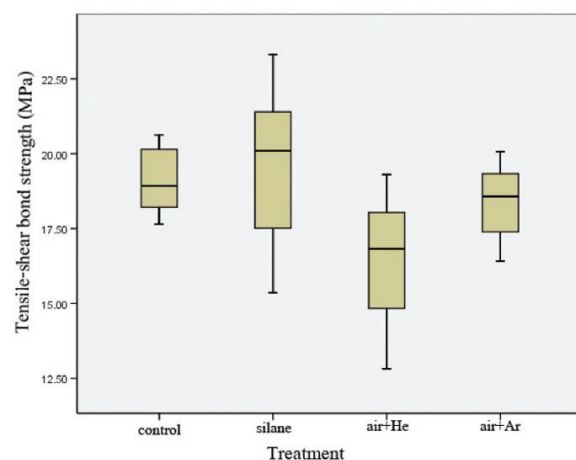
**ตารางที่ 1** ค่าเฉลี่ยกำลังดึงเฉือน (เมกะปอนด์) และส่วนเบี่ยงเบนมาตรฐานของเดือยแต่ละกลุ่ม

**Table 1** Means and standard deviations of tensile-shear bond strength values of post specimens (MPa)

วิธีการปรับสภาพพื้นผิว	ค่าเฉลี่ยกำลังดึง เฉื่อน (MPa)
กลุ่มควบคุม	$19.10 \pm 1.11$
กลุ่มที่ทาสารคุ้กาวบไชเลน	$19.59 \pm 1.11$
กลุ่มที่ปรับสภาพพื้นผิวด้วยเจ็ท พลาสมาระดับสูง	$16.44 \pm 2.25$
กลุ่มที่ปรับสภาพพื้นผิวเจ็ท พลาสมาระดับต่ำ	$18.49 \pm 1.26$
อาร์กอน	

อาร์กอน มีค่า  $1.91 \pm 0.53$ ,  $1.96 \pm 0.65$ ,  $1.81 \pm 0.57$ , และ  $2.16 \pm 0.38$  ไมโครเมตรตามลำดับ จากการวิเคราะห์ความแปรปรวนแบบจำแนกทางเดียว และการทดสอบเชิงชี้อนด้วยวิธีทู基 (Tukey's multiple comparison test) ที่ค่าความเชื่อมั่นร้อยละ 95 ( $p < 0.05$ ) ไม่พบความแตกต่างอย่างมีนัยสำคัญของค่าเฉลี่ยความชุกระพื้นผิวของเดือยทุกกลุ่ม จากการทดสอบด้วยเครื่องฟอร์เรียทرانส์ฟอร์มอินฟราเรดスペกโตรสโคปได้ค่าスペกตรา เอฟ ที่ ไอ อาร์ (FTIR spectra) เปรียบเทียบระหว่างกลุ่มควบคุมกับกลุ่มทดลองในแต่ละกลุ่มดังแสดงในรูปที่ 6, 7 และ 8 ส่วนรูปที่ 9 เป็นรูปสเปกตราเปรียบเทียบกลุ่มควบคุมกับกลุ่มทดลองทุกกลุ่ม

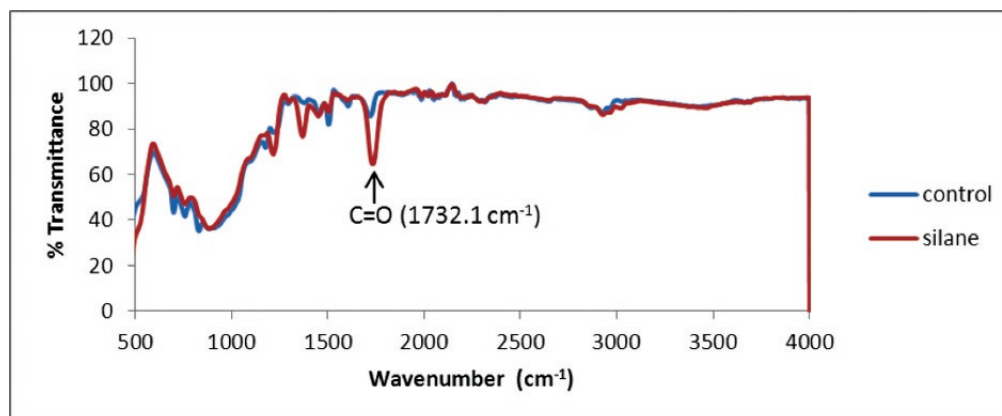
ภาพถ่ายด้วยกล้องจุลทรรศน์อิเลคตรอนซูนิดส่อง  
กระดาษที่กำลังขยาย 400 เท่า ของพื้นผิวเดือยคอมโพสิต  
เสริมเส้นใยที่ไม่ถูกหุ้มด้วยเรซินคอมโพสิตแกนฟันชูนิด  
เหลวมัลติคอร์ฟลว์ ในกลุ่มควบคุม กลุ่มที่ทาด้วยสารคุ่ม  
ควบปีโซเลน กลุ่มที่ปรับสภาพพื้นผิวด้วยเจ็ทพลาสมานของ  
อาการผสجمก้าซีเลียมและกลุ่มที่ปรับสภาพพื้นผิวด้วย  
เจ็ทพลาสมากองอาการผสجمก้าซาร์กอนแสดงในรูปที่  
10 (a, b, c และ d ตามลำดับ) จากภาพไม่พบความแตก  
ต่างที่ชัดเจนบนพื้นผิวเดือยคอมโพสิตเสริมเส้นใยที่ปรับ  
สภาพด้วยวิธีต่างๆ เมื่อเทียบกับพื้นผิวเดือยคอมโพสิต



รูปที่ 5 กราฟแสดงกำลังดึงเฉือน (เมกะปลาสคัล) ของทุกกลุ่มในรูปแบบกล่องและวิสเกอร์โดยกล่องนำเสนอนอกองค์การฐาน และ อินเตอร์คอร์ปอเรชันที่วิสเกอร์นำเสนอนอกองค์การ ร้อยละลิบและเก้าลิบของเบอร์เซ็นไทล์ (*control* = กลุ่มควบคุม, *silane* = กลุ่มทางสารศูนย์ควบคุมไซเลน, *air+He* = กลุ่มที่ปรับสภาพพื้นผิวด้วยเจ็ทพลาสม่าของอากาศผสมกําชธีลีย์ม, และ *air+Ar* = กลุ่มที่ปรับสภาพพื้นผิวด้วยเจ็ทพลาสม่าของอากาศผสมกําชาร์กอน)

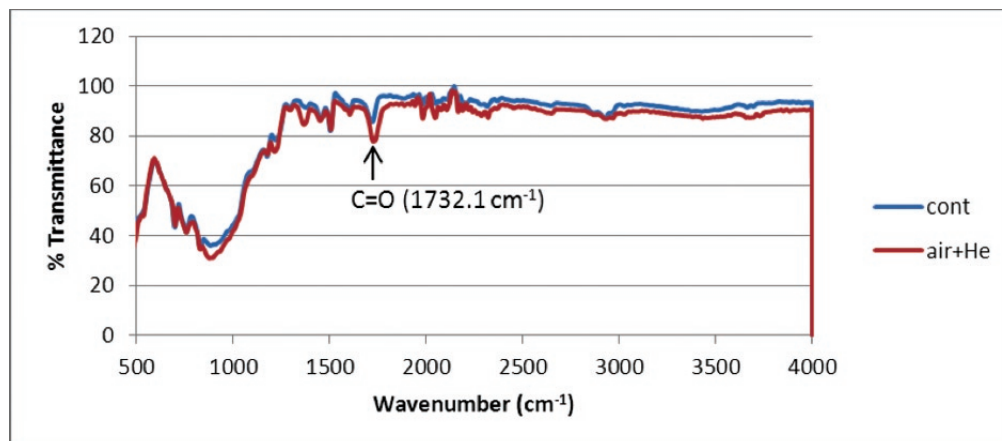
**Figure 5** Graphs show tensile-shear bond strengths (MPa) for all groups displayed in a box and whisker plot. The boxes specify the median and the inter-quartile; the whiskers specify the 10 and 90 % percentiles. (control = control group, silane = silane coupling agent treated group, air+He = group of the plasma jet of the mixture of air and helium gas, and air+Ar = group of the plasma jet of the mixture of air and argon gas)

เสริมเส้นไขกลุ่มควบคุม และภาพถ่ายด้วยกล้องจุลทรรศน์อิเล็กตรอนชนิดส่องกราดที่กำลังขยาย 400 เท่า ของผิวเดียวกับคอมโพสิตเสริมเส้นไขทุกกลุ่มภายหลังจากทดสอบกำลังดึงเฉือน แสดงดังรูปที่ 11 (a, b, c และ d) พบว่าการหลุดของเส้นไขแก้วที่พื้นผิวของเดียวกับคอมโพสิตเสริมเส้นไขกลุ่มที่สารคุณควบคุมไชเลนมีมากกว่ากลุ่มอื่นๆ ในขณะที่การหลุดของพอลิเมอร์และเส้นไขแก้วที่พื้นผิว



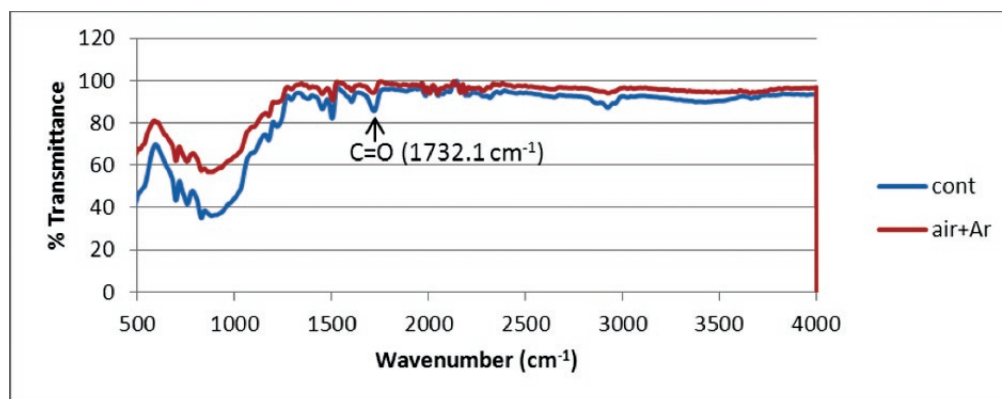
**รูปที่ 6** แสดงสเปกตร้า เอฟ ที่ ໄໂອ อาร์ของเดียวกลุ่มควบคุมกับกลุ่มทาสารคู่คิวบ์ไซเลน ที่เลขคลื่นประมาณ  $1732.1\text{ cm}^{-1}$  พบ ว่าเดียวกลุ่มทาสารคู่คิวบ์ไซเลนมีสเปกตร้าที่แตกต่างจากกลุ่มควบคุมอย่างชัดเจน ซึ่งเลขคลื่นนี้แสดงถึงหมู่ฟังก์ชัน นอลคาร์บอนิลที่เพิ่มขึ้นในเดียวกลุ่มทาสารคู่คิวบ์ไซเลน

**Figure 6** Illustration of FTIR spectra of the post specimens of the control and the silane coupling agent surface treated group showed that there was a significant difference of the spectra between the silane surface treated group and the control group at the  $1732.1\text{ cm}^{-1}$  wavenumber. The result indicated that carbonyl functional group was increased in the silane coupling agent surface treated group.



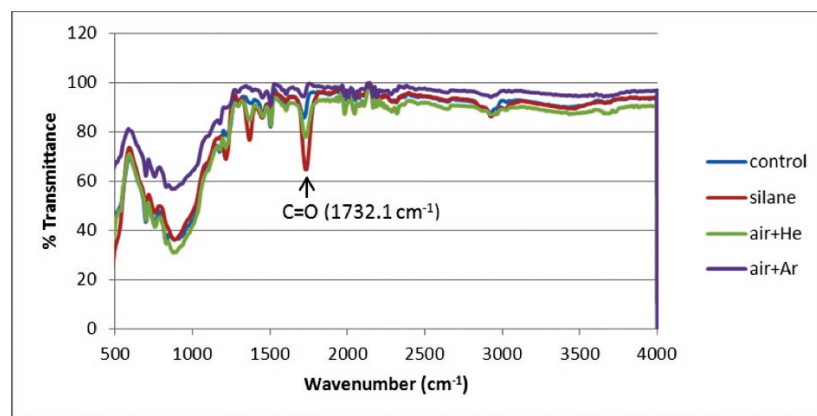
**รูปที่ 7** แสดงสเปกตร้า เอฟ ที่ ໄໂອ อาร์ของเดียวกลุ่มควบคุมกับกลุ่มที่ปรับสภาพพื้นผิวด้วยเจ็ทพลาasmaของอากาศผสมกําก๊ช ยีเลียม (*air+He*) ที่เลขคลื่นประมาณ  $1732.1\text{ cm}^{-1}$  พบ ว่าเดียวกลุ่มที่ปรับสภาพพื้นผิวด้วยเจ็ทพลาasmaของอากาศ ผสมกําก๊ช ยีเลียมมีสเปกตร้าที่แตกต่างจากกลุ่มควบคุมเล็กน้อย ซึ่งเลขคลื่นนี้แสดงถึงหมู่ฟังก์ชันนอลคาร์บอนิล ที่เพิ่มขึ้น เพียงเล็กน้อยในเดียวกลุ่มที่ปรับสภาพพื้นผิวด้วยเจ็ทพลาasmaของอากาศผสมกําก๊ช ยีเลียม

**Figure 7** Illustration of FTIR spectra of the post specimens of the control and the plasma jet of the mixture of air and helium gas treatment group (*air+He*) showed that there was a slightly difference of the spectra between the plasma jet of the mixture of air and helium gas treatment group and the control group at the  $1732.1\text{ cm}^{-1}$  wavenumber. The result indicated that carbonyl functional group was slightly increased in the plasma jet of the mixture of air and helium gas treatment group.



**รูปที่ 8** แสดงสเปกตร้า เอฟ ที่ ໄວ อาเรของเดือยกลุ่มควบคุมกับกลุ่มที่ปรับสภาพพื้นผิวด้วยเจ็ทพลาสมាយของอากาศผสมก๊าซ อาร์กอน (air+Ar) ที่เลขคลื่นประมาณ  $1732.1\text{ cm}^{-1}$  ไม่มีความแตกต่างอย่างชัดเจนของสเปกตราระหว่างเดือยกลุ่มที่ปรับสภาพพื้นผิวด้วยเจ็ทพลาスマของอากาศผสมก๊าซอาร์กอนกับกลุ่มควบคุม แสดงว่าไม่มีการเพิ่มขึ้นของหมู่ พังก์ชันนอลคาร์บอนิลในเดือยกลุ่มที่ปรับสภาพพื้นผิวด้วยเจ็ทพลาスマของอากาศผสมก๊าซอาร์กอน

**Figure 8 Illustration of FTIR spectra of the post specimens of the control and the plasma jet of the mixture of air and argon gas treatment group (air+Ar) showed that there was no significant difference of the spectra between the plasma jet of the mixture of air and argon gas treatment group and the control group at the  $1732.1\text{ cm}^{-1}$  wavenumber. The result indicated that carbonyl functional group was not increased in the plasma jet of the mixture of air and argon gas treatment group.**



**รูปที่ 9** แสดงสเปกตร้า เอฟ ที่ ໄວ อาเรของเดือยกลุ่มควบคุมกับกลุ่มทดลองทุกกลุ่ม ที่เลขคลื่นประมาณ  $1732.1\text{ cm}^{-1}$  พบว่า เดือยกลุ่มทาสารคุ้มครองฟัน เช่น เมมฟูฟังก์ชันนอลคาร์บอนิลที่เพิ่มขึ้นอย่างชัดเจน เดือยกลุ่มที่ปรับสภาพพื้นผิวด้วยเจ็ทพลาスマของอากาศผสมก๊าซไฮเดรจีมีหมู่พังก์ชันนอลคาร์บอนิลที่เพิ่มเล็กน้อย ในขณะที่เดือยกลุ่มที่ปรับสภาพพื้นผิวด้วยเจ็ทพลาスマของอากาศผสมก๊าซอาร์กอนไม่มีการเพิ่มขึ้นของหมู่พังก์ชันนอลคาร์บอนิลเมื่อเทียบกับกลุ่มควบคุม

**Figure 9 Illustration of FTIR spectra of the post specimens of all tested groups. When compared to the control group, an increase of carbonyl functional group was significantly found in the silane coupling agent treated surface group, followed by the plasma jet of the mixture of air and helium gas treatment group. No carbonyl functional group was found in the plasma jet of the mixture of air and argon gas treatment group.**

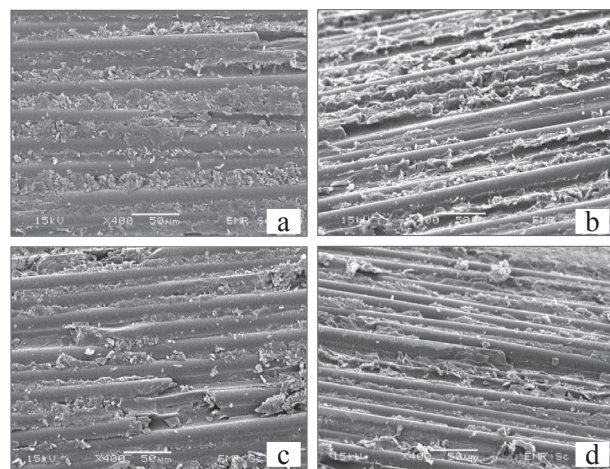


ของเดือยคอมโพลิตเสริมเส้นไอกลุ่มที่ปรับสภาพพื้นผิวด้วยเจ็ทพลาสมាខองอากาศผสมก๊าซไฮดีเจียม และเจ็ทพลาสมាខองอากาศผสมก๊าซออกซิเจนไม่แตกต่างจากกลุ่มควบคุม

### วิจารณ์ผลการทดลอง

จากการทดลองพบว่ากำลังดึงเฉือนของเดือยกลุ่มที่ทาสารคู่ควบคุมไฮเดนมีค่าสูงสุด ( $19.59 \text{ MPa}$ ) แต่ไม่ต่างจากกลุ่มควบคุม ( $19.10 \text{ MPa}$ ) อย่างมีนัยสำคัญจากการใช้กล้องจุลทรรศน์อิเลคตรอนชนิดส่องかるดินการทดลองครั้งนี้พบการเผยแพร่พื้นผิวเส้นใยแก้วบางส่วนบนพื้นผิวของเดือยคอมโพลิตเสริมเส้นไอกลุ่มควบคุม (รูปที่ 10a) ซึ่งสามารถทำปฏิกิริยา กับสารคู่ควบคุมไฮเดนได้โดยสารคู่ควบคุมไฮเดนที่ใช้ในการทดลองนี้ได้แก่ สารเมทัคริโลกซิลิโพรปิลไตรเมทอกซิไฮเดน ( $3\text{-methacryloxypropyltrimethoxysilane}$ ) (MPS) ซึ่งกลุ่มเมทอกซิ (methoxy groups) ( $-\text{Si-OCH}_3$ ) ของ MPS สามารถเปลี่ยนเป็นกลุ่มอัมตกริเรียไฮเดนอล (reactive silanol groups) ( $=\text{Si-OH}$ ) ภายใต้ปฏิกิริยาไฮโดโรไลซิส (hydrolysis reaction) ในขณะที่มีการระดูสารนี้ระหว่างการเตรียมที่ค่าความเป็นกรด-ด่าง ( $\text{pH}$ ) เท่ากับ 4-5 (รูปที่ 12) และหมู่ไฮเดนอลนี้ทำปฏิกิริยา กับออกไซด์ของซิลิกาในเส้นใยแก้ว ในขณะที่หมู่ออกไซด์ของฟังก์ชันนอล (organofunctional group) ของสารคู่ควบคุมไฮเดนทำปฏิกิริยากับมอนомнอเมอร์ของคอมโพลิตแทนฟันชนิดเหลวมัลติคอร์ฟลัวร์ ( $-\text{COO}-$ ,  $-\text{CH}_3$ ) เกิดพันธะทางเคมีขึ้น และผลจากการศึกษาด้วยเครื่องฟอร์เรย์ทรานส์ฟอร์મอินฟราเรดสเปกตรอสโคปีของเดือยที่ได้ทาสารคู่ควบคุมไฮเดนที่เล็กคลื่นประมาณ  $1732.1 \text{ cm}^{-1}$  พบว่ามีหมู่ฟังก์ชันนอล carbonyl ( $\text{C=O}$ ) เพิ่มขึ้นเมื่อเทียบกับกลุ่มควบคุม (รูปที่ 6) ซึ่งหมู่ดังกล่าวเป็นส่วนหนึ่งของหมู่ออกไซด์ของฟังก์ชันนอลของสารคู่ควบคุมไฮเดน

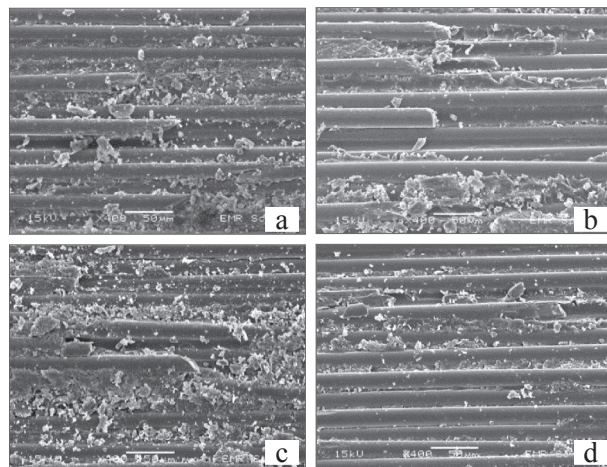
จากการศึกษาพื้นผิวของเดือยที่ทาด้วยสารคู่ควบคุมハイเดนภายหลังจากดึงคอมโพลิตแทนฟันชนิดเหลวมัลติคอร์ฟลัวร์ออก พบว่า ความล้มเหลวของการยึดติดเป็นชนิดผสม (mixed failure mode) (รูปที่ 11b) คือมีพอลิเมอร์บางส่วนบริเวณพื้นผิวเดือยและเส้นใยแก้วบางส่วนของเดือยที่หลุดออกไปพร้อมคอมโพลิตแทนฟันชนิด



**รูปที่ 10** ภาพถ่ายด้วยกล้องจุลทรรศน์อิเลคตรอนชนิดส่องかるดินที่กำลังขยาย 400 เท่า (a) พื้นผิวเดือยคอมโพลิตเสริมเส้นไอกลุ่มควบคุม (b) พื้นผิวเดือยคอมโพลิตเสริมเส้นไยที่ทาด้วยสารคู่ควบคุมไฮเดน (c) พื้นผิวเดือยคอมโพลิตเสริมเส้นไยที่ผ่านการปรับสภาพพื้นผิวด้วยเจ็ทพลาสมាខองอากาศผสมก๊าซไฮดีเจียม (d) พื้นผิวเดือยคอมโพลิตเสริมเส้นไยที่ผ่านการปรับสภาพพื้นผิวด้วยเจ็ทพลาสมាខองอากาศผสมก๊าซออกซิเจน

**Figure 10** SEM images at 400-X magnification of the surface of the fiber-reinforced composite posts with different surface treatments (a) control group (b) silane coupling agent surface treated group (c) plasma jet of the mixture of air and helium gas surface treated group (d) plasma jet of the mixture of air and argon gas surface treated group.

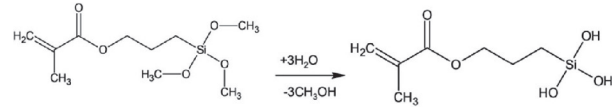
เหลวมัลติคอร์ฟลัวร์ ซึ่งค่ากำลังดึงเฉือนที่สูงที่สุดในกลุ่มนี้เกิดจากการเกิดพันธะเคมีระหว่างพิพอลิเมอร์ที่เผยแพร่เส้นใยแก้วกับสารคู่ควบคุมไฮเดนและความชุกของพื้นผิวพอลิเมอร์ ทำให้เกิดการยึดติดเชิงกลระหว่างพอลิเมอร์กับคอมโพลิตแทนฟันชนิดเหลวมัลติคอร์ฟลัวร์ได้ดีและเมื่อเบรย์บเทียบปริมาณเส้นใยแก้วที่หลุดภายนหลังดึงคอมโพลิตแทนฟันชนิดเหลวมัลติคอร์ฟลัวร์ออกระหว่างเดือยในกลุ่มที่ผ่านการทำสารคู่ควบคุมไฮเดนกับกลุ่มควบคุม (รูปที่ 11b กับ 11a) พบว่า เดือยที่ทาสารคู่



**รูปที่ 11** ภาพถ่ายด้วยกล้องจุลทรรศน์อิเลคตรอนชนิดส่องกราดที่กำลังขยาย 400 เท่า ของพื้นผิวเดือยคอมโพลิตเสริมเส้นไบภายนอกหลังจากดึงคอมโพลิตแกนพันชนิดเหลวมัลติคอร์ฟลว์ (a) พื้นผิวเดือยคอมโพลิตเสริมเส้นไบกลุ่มควบคุม (b) พื้นผิวเดือยคอมโพลิตเสริมเส้นไบที่ทาด้วยสารคู่ควบคุมไชเลน (c) พื้นผิวเดือยคอมโพลิตเสริมเส้นไบที่ผ่านการปรับสภาพพื้นผิวด้วยเจ็ทพลาสมាយของอากาศผสมก๊าซไฮเดรจ (d) พื้นผิวเดือยคอมโพลิตเสริมเส้นไบที่ผ่านการปรับสภาพพื้นผิวด้วยเจ็ทพลาスマของอากาศผสมก๊าซออกซิเจน

**Figure 11** SEM images at 400-X magnification of the fiber-reinforced composite posts with different surface treatments following the MultiCore Flow® pull-out (a) control group (b) silane coupling agent surface treated group (c) plasma jet of the mixture of air and helium gas surface treated group (d) plasma jet of the mixture of air and argon gas surface treated group.

ควบคู่ไปกับมีการหลุดของเส้นไบเก้าที่มากกว่า ซึ่งเป็นไปได้ว่าสารคู่ควบคุมไชเลนทำปฏิกิริยากับเส้นไบเก้าดังที่กล่าวมาข้างต้น อย่างไรก็ได้กำลังดึงเฉือนก็ไม่ได้เพิ่มขึ้นอย่างมีนัยสำคัญ อาจเนื่องจากปริมาณเส้นไบเก้าที่เผยแพร่ที่ผิวเดือยมีจำนวนน้อย หรือเกิดจากสารคู่ควบคุมไชเลนที่ทาบนพื้นผิวเดือยมีความหนามากกว่าหนึ่งชั้น จากการ



**รูปที่ 12** แสดงปฏิกิริยาของสารคู่ควบคุมไชเลนระหว่างกุกกระตุ้นในสารละลายของน้ำและกรดอะซิติก (acetic acid) ที่ค่าความเป็นกรด-ด่างเท่ากับ 4 ( $pH = 4$ ) โดยกลุ่มเมทอกซิไซลอนเปลี่ยนเป็นกลุ่มอันตราริยาไชเลนผล (ดัดแปลงมาจาก Matinlinna et al.<sup>(12)</sup>)

**Figure 12** Illustration of silane reactions during activation in water mixed with acetic acid solution at pH 4 with its methoxy groups turns to reactive silanol. (Modified from Matinlinna et al.<sup>(12)</sup>)

ศึกษาของ Debnath และคณะ<sup>(28)</sup> พบว่าสารคู่ควบคุมไชเลนที่มีความหนามากกว่าหนึ่งชั้น จะทำให้ประสิทธิภาพการยึดติดลดลงเนื่องจากจำนวนเมแทคริเลตอิสระมีการลดลงจึงเกิดความล้มเหลวชนิดโคลาชีพในตัวสารคู่ควบคุมไชเลนเอง

สำหรับกลุ่มที่ปรับสภาพพื้นผิวด้วยเจ็ทพลาสมานั้นในการทดลองนี้เลือกใช้อากาศเป็นก๊าซทำปฏิกิริยาเนื่องจากในอากาศมีก๊าซไนโตรเจนจำนวนมาก กรณีที่สามารถไอออนไนซ์ก๊าซไนโตรเจนในอากาศให้เกิดเป็นพลาสmaได้ จะช่วยปรับปรุงการยึดติดของผิวพอลิเมอร์ได้ดีขึ้น จากการศึกษาของ Lommatsch และคณะ<sup>(29)</sup> พบว่าพลาสมາของก๊าซไนโตรเจนช่วยเพิ่มความตึงผิว (surface tension) และเพิ่มหมุนฟังก์ชันของออกซิเจนและไนโตรเจนที่พื้นผิวพอลิเมอร์ ซึ่งในไนโตรเจนสปีชีส์ (nitrogen species) เหล่านี้ได้แก่  $\text{NH}_2$  และไนตริด (nitrile) ซึ่งหมุนฟังก์ชันของเหล่านี้สามารถทำปฏิกิริยากับแขนคาร์บอน (-C-) ที่เกิดขึ้นบนพื้นผิวเดือยที่ถูกพลาสmaทำปฏิกิริยาทำให้พื้นผิวเดือยเกิดปฏิกิริยาการแตกแขนงcarbonyl และการเชื่อมกับหมุนฟังก์ชันของในคอมโพลิตแกนพันชนิดเหลวมัลติคอร์ฟลว์ทำให้การยึดติดดีขึ้น ตลอดจนเจ็ทพลาสมາของอากาศยังช่วยเหนี่ยวนำให้เกิด อะตอมอันตราริยาของออกซิเจน (reactive oxygen atom) ซึ่งมีคุณสมบัติเหนี่ยวนำให้เกิดการมีข้าว (polarity) ของผิวพอลิเมอร์ และทำให้คุณสมบัติการ



เปรียกน้ำบนพื้นผิวดีขึ้น<sup>(18)</sup> และยังช่วยกัดกร่อน (etching) พื้นผิวพอลิเมอร์ได้ นอกจากนี้การใช้อากาศยังช่วยลดค่า ใช้จ่ายเมื่อเทียบกับการใช้แก๊สไฮเดรียมหรือออการ์กอนดีเยีย瓦<sup>(30)</sup> รวมทั้งเจ็ทพลาสมាមากสามารถเหนี่ยวนำให้เกิด กลุ่มนูนุ碌บนพื้นผิวพอลิเมอร์โดยการตัดสายพอลิเมอร์ หรือจากการดึงไฮโดรเจนออกไประ (hydrogen abstraction)<sup>(31)</sup> ในการทดลองนี้เมื่อศึกษาหมู่ฟังก์ชันกลุ่มที่พื้นผิวเดียดวยเครื่องฟอร์เรย์ทราณสฟอร์มอินฟราเรดสเปค โทรสโคปพบว่าเดียดอยู่ที่ปรับสภาพพื้นผิวเดียดวยเจ็ทพลาสมាមากสามารถผสมก้าซไฮเดรียมมีหมู่ฟังก์ชันกลุ่มคาร์บอนิล เพิ่มขึ้นเล็กน้อยเมื่อเทียบกับกลุ่มควบคุม (รูปที่ 7) สอดคล้องกับการศึกษาของ Boeing<sup>(32)</sup> ที่พบว่าเจ็ทพลาสมាមากใช้โดยเฉพาะไฮเดรียมมักก่อให้เกิดอนุนู碌อิสระจากการระดมยิงของไอโอนและจากการแพรังสีอัลตราไวโอเลต แต่ในการทดลองนี้กลับไม่พบหมู่ฟังก์ชันกลุ่มของในตรามาตามที่คาดไว้ เป็นไปได้ว่าอนุนู碌หรือโมเลกุลของในตรามาที่อยู่ในภาวะตั้นทำปฏิกิริยา กับก้าซออกซิเจนในอากาศทันทีหรือหลังจากการปรับสภาพพื้นผิว และมีการแทนที่กลุ่มไอมายน์ (imine group) ด้วยออกซิเจนจากการไฮโดรไลซิสของน้ำในบรรยากาศ<sup>(29)</sup> สอดคล้องกับการศึกษาของ Grace และ Gerenser<sup>(20)</sup> ที่พบว่าพอลิเอทธิลีนที่ผ่านการปรับสภาพพื้นผิวเดียดพลาสมាមากในตรามาเมื่อสัมผัสกับอากาศจะดูดออกซิเจนและคาร์บอน แต่มีการสูญเสียในตรามาที่เหนี่ยวนำด้วยพลาสมานี้ 40 เปอร์เซ็นต์ ดังนั้นหมู่ฟังก์ชันกลุ่มคาร์บอนิลน่าจะเป็นกลุ่มหลักในการทำปฏิกิริยา กับหมู่ฟังก์ชันกลุ่มของคอมโพลิตแแกนพื้นชนิดเหลวมัลติคอร์ฟล์ ซึ่งพันธะที่เกิดขึ้นมักได้แก่พันธะไฮโดรเจนที่มีพลังงานต่ำ แม้ว่าหมู่ฟังก์ชันกลุ่มคาร์บอนิลที่เกิดขึ้นทำให้พอลิเมอร์มีความคงทนน้ำเพิ่มขึ้นแต่ไม่พบว่ากำลังดึงเฉือนของเดียกกลุ่มนี้ดีกว่ากลุ่มนี้อย่างมีนัยสำคัญ สอดคล้องกับการศึกษาของ Lommatsch และคณ.<sup>(29)</sup> ที่กล่าวว่าการไฮโลแฟที่เพิ่มขึ้นไม่ได้สัมพันธ์กับแรงยึดติดที่เกิดขึ้น แม้ว่าเจ็ทพลาสมាមากสามารถลดค่าใช้จ่ายที่ผ่านของพอลิเมอร์<sup>(15,33)</sup> ซึ่งทำให้การยึดติดเชิงกลดีขึ้น แต่การทดลองนี้กลับไม่พบว่าความชรุนระของพื้นผิวเดียดอยู่ในกลุ่มนี้เพิ่มขึ้น และลักษณะทางกายภาพของพื้น

ผิวไม่ได้แตกต่างไปจากกลุ่มควบคุม (รูปที่ 10c กับ 10a) อาจเป็นไปได้ว่าปริมาณออกซิเจนที่ถูกไอโอนไนซ์เป็นพลาสมามีน้อยเกินไป

ในทางตรงกันข้ามเดียกกลุ่มที่ปรับสภาพพื้นผิวเดียดวยเจ็ทพลาสมាមากสามารถผสมก้าซออการ์กอนกลับไม่พบหมู่ฟังก์ชันกลุ่มคาร์บอนิลแต่พบว่ากำลังดึงเฉือนของเดียกกลุ่มนี้มีค่ามากกว่ากลุ่มที่ปรับสภาพพื้นผิวเดียดวยเจ็ทพลาสมាមากสามารถผสมก้าซไฮเดรียมแต่ก็ไม่ต่างกันอย่างมีนัยสำคัญ ทั้งๆ ที่หมู่ฟังก์ชันกลุ่มคาร์บอนิลของเดียกกลุ่มนี้ไม่ได้เพิ่มขึ้นเมื่อเทียบกับกลุ่มควบคุม (รูปที่ 8) และเมื่อเทียบกับทุกกลุ่มปรากฏว่าหมู่ฟังก์ชันกลุ่มคาร์บอนิลของกลุ่มนี้มีน้อยที่สุด (รูปที่ 9) ทำให้ยืนยันได้ว่าหมู่ฟังก์ชันกลุ่มคาร์บอนิลที่ตรวจพบบนพื้นผิวเดียดพลาスマของก้าซออการ์กอนนิยมใช้ทำความสะอาดพื้นผิวและปรับปรุงคุณสมบัติเกี่ยวกับการยึดติดของพอลิเมอร์ของสารกึ่งตัวนำ (semiconductor) ที่ใช้ในวงการอุตสาหกรรม เนื่องจากพลาสมាមากสามารถทำหน้าที่คล้ายสารละลาย (diluent) หรือ ทำให้เกิดการไขว้สายพอลิเมอร์ (crosslink) ได้<sup>(34)</sup> จึงช่วยให้การยึดติดดีขึ้นแต่ในการทดลองนี้เจ็ทพลาสมាមากก้าซออการ์กอนกลับไม่ให้ผลตามที่กล่าวมา สาเหตุอาจเนื่องจากเวลาที่ใช้ในการปรับสภาพพื้นผิวนานเกินไป พลังงานที่ให้ต่อเนื่องสู่ระบบก่อให้เกิดการตัดสายพอลิเมอร์ (chain scission) เพิ่มขึ้น และสารที่มีน้ำหนักโมเลกุลต่ำมีการแพร่กระจายมาสู่พื้นผิวมากขึ้น โดยปกติสายพอลิเมอร์เบรย์บเนื่องเป็นแกนปฐมภูมิ (primary nucleus) สำหรับการเกาะเกี่ยวระหว่างมอนомнิเมอร์ มีคุณสมบัติหลอมละลาย (dissolve) และสร้างขึ้นมาใหม่ (reform) แต่ในกรณีที่สายพอลิเมอร์ตัดสั้นเกินไป จะเกิดเฉพาะการหลอมละลายอย่างเดียว<sup>(35)</sup> ประกอบกับมีการแพร่กระจายของอนุนู碌อิสระที่อยู่บริเวณพื้นผิวไปสู่ด้านในของพอลิเมอร์<sup>(18)</sup> ปรากฏการณ์เหล่านี้เป็นสาเหตุให้เกิดการเสื่อมสภาพ (aging) ของพอลิเมอร์ ทำให้การไขว้สายพอลิเมอร์จะช่วยหมู่ฟังก์ชันกลุ่มที่พอลิเมอร์กับหมู่ฟังก์ชันกลุ่มในมอนомнิเมอร์ของคอมโพลิตแแกนพื้นชนิดเหลวมัลติคอร์ฟล์ลดลง การศึกษานี้สอดคล้องกับการทดลองของ Rusu และคณ.<sup>(35)</sup> ที่ใช้พลาสมាមากก้าซออการ์กอน



ปรับสภาพพื้นผิวโพลิเอทธิลีนเทเรฟทาเลต และพบว่าการปรับสภาพพื้นผิวโพลิเมอร์ด้วยพลาสม่าที่พลังงานระดับต่ำ (*mild plasma treatment*) ทั้งในแรงกระแทกนิวเคลียร์ ความดันก๊าซ และระยะเวลาในการปรับสภาพพื้นผิว ทำให้มีการออกซิเดชัน (*oxidation*) ที่ผิวอย่างเหมาะสม แต่เมื่อเวลาผ่านขึ้นกลับทำให้เกิดผลตรงกันข้ามของการออกซิเดชันก่อให้เกิดการเสื่อมสภาพของโพลิเมอร์ได้ อย่างไรก็ตามพลาสม่าของก๊าซออกซิเจนชี้งประจุบด้วยอนุภาคที่มีน้ำหนักไม่เล็กน้อย สูง เมื่ออนุภาคและไอออนที่มีพลังงาน (*energetic ion*) เหล่านี้จะระดมยิงที่ผิวโพลิเมอร์ สามารถกัดกร่อนบริเวณผิว<sup>(36)</sup> และเกิดความชุรุขระขนาดเล็กที่พื้นผิวซึ่งช่วยการยึดติดเชิงกลกับคอมโพสิตแกนฟันชนิดเหลวมัลติคอร์ฟิลว์ได้

อย่างไรก็ได้การปรับสภาพพื้นผิวด้วยพลาสมานั้นเห็นได้ชัดเจนให้เกิดการเปลี่ยนแปลงเฉพาะผิวนอกสุดหนาเพียง 1-10 นาโนเมตร<sup>(21)</sup> ซึ่งการวัดเชิงสัณฐาน (*morphology*) ด้วยเครื่องพรอพิโลมิเตอร์และกล้องจุลทรรศน์อิเลคตรอนชนิดส่องกราดไม่สามารถเห็นการเปลี่ยนแปลงที่แท้จริงได้ สอดคล้องกับการศึกษาของ Riccardi และคณะ<sup>(31)</sup> ที่กล่าวว่ากล้องจุลทรรศน์อิเลคตรอนชนิดส่องกราดไม่สามารถบอกความแตกต่างระหว่างผิวที่ได้รับการปรับและไม่ปรับสภาพพื้นผิวด้วยพลาสม่า เนื่องจากกล้องจุลทรรศน์อิเลคตรอนชนิดส่องกราดมีข้อจำกัดเรื่องความลึกของมิติ (*depth resolution*) จึงทำให้ไม่สามารถตรวจจับสัณฐานที่แตกต่างน้อยกว่าหน่วยไม่どころได้ ซึ่งหมายความว่า แม้ความชุรุขระที่วัดได้จะไม่ต่างกันแต่สัณฐานอาจต่างกันได้ ซึ่งมีผลต่อการยึดติดเชิงกลได้ Riccardi และคณะ<sup>(31)</sup> ได้แนะนำว่า เครื่องมือที่เหมาะสมคือ อะตอมมิคฟอร์ส ไมโครสโคปี (*atomic force microscopy*) ดังนั้นในการทดลองนี้ ความชุรุขระพื้นผิวของเดียวในกลุ่มที่ปรับสภาพพื้นผิวด้วยเจ็ทพลาสม่าอาจไม่สอดคล้องกับลักษณะที่ปรากฏในภาพถ่ายด้วยกล้องจุลทรรศน์อิเลคตรอนชนิดส่องกราดซึ่งใช้กำลังขยายเพียง 400 เท่า เป็นไปได้ว่าสัณฐานของความชุรุขระที่ต่างกันมีผลต่อกำลังดึงดื่นเชื่อง แต่อาจไม่มากพอที่จะทำให้เกิดความแตกต่างอย่างมีนัยสำคัญ รวมทั้งผลของการทดสอบหมู่ฟังก์ชันนอลที่ผิวของโพลิเมอร์ที่ปรับสภาพพื้นผิวด้วยพลาสม่าโดยการใช้เครื่องฟอร์เรย์ทราสน์ฟอร์มอินฟรา-

เรดสเปคโตรสโคปี อาจเป็นหมู่ฟังก์ชันนอลที่อยู่ในขั้นที่ได้รับการปรับสภาพพื้นผิวด้วยพลาสมาร่วมกับขั้นที่ลึกกว่า เนื่องจากเครื่องฟอร์เรย์ทราสน์ฟอร์มอินฟราเรดสเปคโตรสโคปีสามารถตรวจจับการเปลี่ยนแปลงทางเคมีในระดับไมโครเมตรจากพื้นผิว<sup>(37,38)</sup> ในขณะที่พลาสม่าทำให้เกิดการเปลี่ยนแปลงระดับนาโนเมตรจึงทำให้การแปลผลเรื่องหมู่ฟังก์ชันนอลที่ตรวจพบผิดพลาดได้ซึ่งเครื่องมือที่เหมาะสมในการตรวจและวัดการเปลี่ยนแปลงทางเคมีที่พื้นผิวคือ เอกซเรย์ฟ็อโตอิเลคตรอน สเปคโตรสโคปี (*x-ray photoelectron spectroscopy*)<sup>(20)</sup> ดังนั้นในการทดลองครั้งต่อไปเกี่ยวกับการเปลี่ยนแปลงทางเคมีและทางฟิสิกส์ของพื้นผิวโพลิเมอร์ที่ปรับสภาพพื้นผิวด้วยพลาสม่าควรใช้เครื่องมือที่กล่าวมาข้างต้นจึงจะได้ผลที่ชัดเจน จากผลการทดลองนี้จึงยอมรับสมมุติฐานว่า การปรับสภาพพื้นผิวด้วยเจ็ทพลาสมាជึ่งสามารถช่วยเพิ่มประสิทธิภาพการยึดติดของเดียวคอมโพสิตเสริมสีน้ำเงินให้กับคอมโพสิตแกนฟันชนิดเหลวมัลติคอร์ฟิลว์เมื่อเทียบกับการใช้สารคุณค่าป้ายเลน

อย่างไรก็ตามแม้ว่าการใช้เจ็ทพลาสม่าปรับสภาพพื้นผิวเดียวคอมโพสิตเสริมสีน้ำเงินในแรงของการรักษาสภาพแวดล้อมเนื่องจากเป็นเทคโนโลยีที่สะอาดแต่เครื่องเจ็ทพลาสมามีดีมีข้อจำกัดอย่างแพร่หลาย มากใช้เพื่อการวิจัยในห้องปฏิบัติการทางฟิสิกส์ และจากการศึกษาของ Ye และคณะ<sup>(39)</sup> พบว่ากำลังดึงระดับจุลภาค (*microtensile bond strength*) ระหว่างเดียวคอมโพสิตเสริมสีน้ำเงินที่ปรับสภาพพื้นผิวด้วยเจ็ทพลาสมាយังออกฤทธิ์ต่อการปรับสภาพพื้นผิวเดียวคอมโพสิตเสริมสีน้ำเงินโดยลดลงเมื่อพื้นผิวเดียวคอมโพสิตเสริมสีน้ำเงินใช้สัมผัสด้วยอากาศหลังการปรับสภาพด้วยเจ็ทพลาสมานานมากกว่าหรือเท่ากับ 1 ชั่วโมงก่อนนำไปยึดกับเรซิโนนชีเมนต์ มีค่าลดลงเมื่อพื้นผิวเดียวคอมโพสิตเสริมสีน้ำเงินใช้สัมผัสด้วยอากาศหลังการปรับสภาพด้วยเจ็ทพลาสมานานกว่าหรือเท่ากับ 1 ชั่วโมงก่อนนำไปยึดกับเรซิโนนชีเมนต์ เนื่องจากผลของการเสื่อมสภาพของพื้นผิวที่ปรับสภาพด้วยเจ็ทพลาสม่า ซึ่งการติดตั้งเครื่องเจ็ทพลาสม่าในคลินิกยังมีข้อจำกัดหลายประการ เช่น วัสดุอุปกรณ์ที่หาได้ยาก ราคาค่อนข้างสูง และเครื่องเจ็ทพลาสมามีขนาดใหญ่ จึงเป็นไปได้ยากที่จะยึดคอมโพสิตแกนฟันกับเดียวคอมโพสิตเสริมสีน้ำเงินที่ปรับสภาพพื้นผิวด้วยเจ็ทพลาสมាដันที่หลังการปรับสภาพเพื่อได้ประสิทธิภาพการยึดติดสูงสุด<sup>(39)</sup> ทำให้การใช้เจ็ทพลาสม่าในคลินิก



เพื่อปรับสภาพพื้นผิวเดียวกับโพลิเมอร์ที่ใช้ทางทันตกรรมยังไม่ได้รับความนิยมในปัจจุบัน

## บทสรุป

ภายใต้ข้อจำกัดของการทดลองครั้งนี้ สามารถสรุปผลได้ดังนี้

การปรับสภาพพื้นผิวเดียวกับโพลิเมอร์ที่ปรับสภาพพื้นผิวด้วยสารคู่ควบคุมไชเลนหรือเจ็ทพลาสmaxของอากาศไม่เพิ่มการยึดติดกับคอมโพลิตแคนฟันชนิดเหลวมัลติคอร์ฟล์ กำลังดึงเฉือนระหว่างคอมโพลิตแคนฟันชนิดเหลวมัลติคอร์ฟล์กับเดียวกับคอมโพลิตเสริมเส้นใยที่ปรับสภาพพื้นผิวด้วยสารคู่ควบคุมไชเลน หรือด้วยเจ็ทพลาสmaxของอากาศไม่มีความแตกต่างกันอย่างมีนัยสำคัญเมื่อเทียบกับการไม่ปรับสภาพพื้นผิว

การปรับสภาพพื้นผิวด้วยเจ็ทพลาสmaxของอากาศ ผสมกับก้าชเจ้อยไม่ทำให้ความชุกระพื้นผิวของเดียวกับคอมโพลิตเสริมเส้นใยแตกต่างจากเดียวกับกลุ่มควบคุม และพบว่ากลุ่มฟังก์ชันนอลคาร์บอนิลที่เกิดจากการทาสารคู่ควบคุมไชเลน และจากการปรับสภาพพื้นผิวด้วยเจ็ทพลาสmaxของอากาศมีผลน้อยมากต่อกำลังดึงเฉือนระหว่างเดียวกับคอมโพลิตเสริมเส้นใยกับคอมโพลิตแคนฟันชนิดเหลวมัลติคอร์ฟล์

## กิตติกรรมประภาก

ขอขอบคุณ คุณชาญชัย อุ่มโนน ศูนย์วิจัยพิสิกส์ ของพลาสmax และสำนักงานวิชาชีพ ภาควิชาพิสิกส์และวัสดุศาสตร์ มหาวิทยาลัยเชียงใหม่ที่ให้ความช่วยเหลือเกี่ยว กับการใช้เครื่องกำเนิดเจ็ทพลาสmax ขอขอบคุณคณะทันตแพทยศาสตร์ มหาวิทยาลัยเชียงใหม่ที่ให้ทุนวิจัยใน การทดลองนี้

## เอกสารอ้างอิง

- Duret B, Duret F, Reynaud M. Long-life physical property preservation and postendodontic rehabilitation with the compositopost. *Compend Contin Educ Dent* 1996; suppl. No 20: s50-56.
- Monticelli F, Grandini S, Goracci C, Ferrari M. Clinical behavior of translucent-fiber posts: a 2-years prospective study. *Int J Prosthodont* 2003; 16: 593-596.
- Baldissara P, Zicari F, Valandro LF, Scotti R. Effect of root canal treatments on quartz fiber posts bonding to root dentin. *J Endod* 2006; 32: 985-988.
- Perdigao J, Gomes G, Lee IK. The effect of silane on the bond strengths of fiber posts. *Dent Mater* 2006; 22: 752-758.
- Aksornmuang J, Foxton RM, Nakajima M, Tagami J. Microtensile bond strength of a dual-cure resin core material to glass and quartz fiber posts. *J Dent* 2004; 32: 433-450.
- Ozcan M, Vallittu PK. Effect of surface conditioning methods on the bond strength of luting cements to ceramics. *Dent Mater* 2003; 19: 725-731.
- Sahafi A, Peutzfeldt A, Asmussen E, Gotfredsen K. Effect of surface treatment of prefabricated posts on bonding of resin cement. *Oper Dent* 2004; 29: 60-68.
- Goracci C, Raffaelli O, Monticelli F, Balleri B, Bertelli E, Ferrari M. The adhesion between prefabricated FRC posts and composite resin cores: microtensile bond strength with and without post-silanization. *Dent Mater* 2005; 21: 437-444.
- Vano M, Goracci C, Monticelli F, Tognini F, Tay FR, Ferrari M. The adhesion between fiber posts and composite resin cores: the evaluation of microtensile bond strength following various surface chemical treatments to posts. *Int Endod J* 2006; 39: 31-39.
- Sahafi A, Peutzfeldt A, Asmussen E, Gotfredsen K. Bond strength of resin cement to surface-treated posts of titanium alloy, glass



- fiber, and zirconia, and to dentin. *J Adhes Dent* 2003; 5: 153-162.
11. Yavirach P, Chaijareenont P, Boonyawan D, et al. Effects of plasma treatment on the shear bond strength between fiber-reinforced composite posts and resin composite for core buildup. *Dent Mater* 2009; 28: 686-692.
12. Goracci C, Tavares AU, Fabianelli A, et al. The adhesion between fiber posts and root canal walls: comparison between microtensile and push-out bond strength measurements. *Eur J Oral Sci* 2004; 112: 353-361.
13. Matinlinna JP, Lassila LV, Vallittu PK. Evaluation of five silanes on bonding a luting cement onto silica-coated titanium. *J Dent* 2006; 34: 721-726.
14. Matinlinna JP, Lassila LVJ, Ozcan M, Yli-Urpo A, Vallittu PK. An introduction to silanes and their clinical applications in Dentistry. *Int J Prosthodont* 2004; 17: 155-164.
15. Cvelbar U, Pejovnik S, Mozetie M, Zalar A. Increased surface roughness by oxygen plasma treatment of graphite/polymer composite. *Appl Surf Sci* 2003; 210: 255-261.
16. ศรีเพ็ญ ท้าวตอก กระบวนการผลิตพลาสม่าเพื่อปรับเปลี่ยนสมบัติของสิ่งทอ วิทยาศาสตร์มหาบัณฑิต มหาวิทยาลัยเชียงใหม่ มหาวิทยาลัยเชียงใหม่, 2547
17. Derand T, Molin M, Kvam K. Bond strength of composite luting cement to zirconia ceramic surfaces. *Dent Mater* 2005; 21: 1158-1162.
18. Liston EM, Martinu L, Wertheimer MR. Plasma surface modification of polymers for improved adhesion: a critical review. *J Adhesion Sci Technol* 1993; 7: 1091-1127.
19. Lai J, Sunderland B, Xue J, et al. Study on hydrophilicity of polymer surfaces improved by plasma treatment. *Appl Surf Sci* 2006; 252: 3375-3379.
20. Grace JM, Gerenser LJ. Plasma treatment of polymers. *J dispersion Sci Technol* 2003; 24: 305-341.
21. Inagaki N. Plasma surface modification and polymer chain ends. *J Vac Soc Jpn* 2007; 50: 625-628.
22. พิริยะ ยาไวราษ, สุดาพร ดวงสุริยะ, อุบลวรรณ เสริมชัยวงศ์. แรงดึงเดือดเมื่อระห่ำว่างเรซินอะคริลิกชนิดปั่นด้วยความร้อนที่ปรับสภาพพื้นผิวแบบต่างๆ กับเรซินอะคริลิกชนิดปั่นด้วยตัวเอง. ชม. ทันตสาร 2554; 32 : 93-101.
23. Kanazawa S, Kogoma M, Moriwaki T, Okazaki S. Stable glow plasma at atmospheric pressure. *J Phys Appl Phys* 1988; 21: 838-840.
24. Noeske M, Degenhardt J, Struthoff S, Lommatsch U. Plasma jet treatment of five polymers at atmospheric pressure: surface modifications and the relevance for adhesion. *Int J Adhes Adhes* 2004; 24: 171-177.
25. Hicks RF. *Atmospheric-pressure plasma cleaning of contaminated surfaces*. University of California, Los Angeles; 1999: 1-131.
26. Nishigawa G, Maruo Y, Oka M, Oki K, Minagi S, Okamoto M. Plasma treatment increased shear bond strength between heat-cured acrylic resin and self-curing acrylic resin. *J Oral Rehabil* 2003; 30: 1081-1084.
27. Walsh JL, Shi JJ, Kong MG. Contrasting characteristics of pulsed and sinusoidal cold atmospheric plasma jets. *Appl Phys Lett* 2006; 88: 171501-171503.
28. Debnath S, Wunder SL, McCool JL, Baran GR. Silane treatment effects on glass resin interfacial shear strength. *Dent Mater* 2003; 19: 441-448.
29. Lommatsch U, Pasedag D, Baalmann A, Ellinghorst G, Wagner H-E. Atmospheric pressure plasma jet treatment of polyethylene



- surfaces for adhesion improvement. *Plasma Process and Polymer* 2007; 4: s1041-s1045.
30. Hong YC, Uhm HS. Air plasma jet with hallow electrodes at atmospheric pressure. *Phys Plasma* 2007; 14: 053503-053505.
31. Riccardi C, Barni R, Selli E, et al. Surface modification of poly (ethylene terephthalate) fibers induced by radio frequency air plasma treatment. *Appl Surf Sci* 2003; 211: 386-397.
32. Boenig HV. *Plasma Science and Technology*. New York: Cornell Press: Ithanica; 1982.
33. Wei QF, Gao WD, Hou DY, Wang XQ. Surface modification of polymer nanofibers by plasma treatment. *Appl Surf Sci* 2005; 245: 16-20.
34. Castro Vidaurre EF, Achete CA, Gallo F, Garcia D, Simao R, Habert AC. Surface modification of polymeric materials by plasma treatment. *Materials Research* 2001; 5: 37-41.
35. Rusu IA, Borcia G, Sayed SO, Sullivan JL. Arf plasma effect on polymer surface. Paper read at 28<sup>th</sup> ICPIG. 15-20 July2007, at Prague, Czech Republic.
36. Arefi-Khonsari F, Tatoulian M. Plasma processing of polymers by a low-frequency discharge with asymmetrical configuration of electrodes. In: *Advanced plasma technology*, Willey-VCH Verlag GmbH & Co. KGaA, Germany; 2008: 137-174.
37. Cheng C, Liye Z, Zhan RJ. Surface modification of polymer fiber by the new atmospheric pressure cold plasma jet. *Surf Coat Technol* 2006; 200: 6659-6665.
38. Loyaga-Rendon PG, Takahashi H, Iwasaki N, Reza F. Effect of ultraviolet light irradiation on bonding of experimental composite resin artificial teeth. *Dent Mater* 2007; 26: 805-813.
39. Ye H, Zhang Q, Sun K, Zhang J, Jiao Y, Zhou Y. Aging effect of fiber post surface treatment with nonthermal plasma. *Int J Prosthodont* 2012; 25: 509-511.